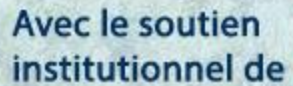


CRO 202







Persistance d'ADN VIH dans le LCS pendant plusieurs années malgré une virémie contrôlée prolongée sous ARV

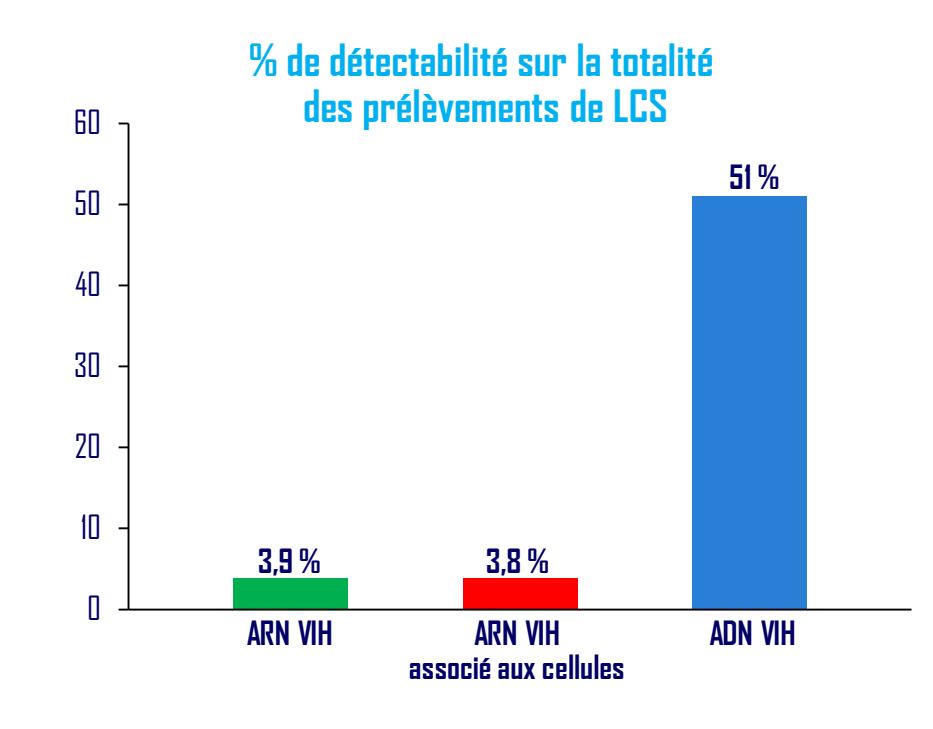
- Essai ACTG A5321 : étude de la dynamique longitudinale des réservoirs VIH et des déterminants de la persistance
- Objectif: sous-étude de l'ACTG A5321 sur le réservoir dans le LCS

Participants et méthode

- 16 PVVIH bien contrôlés sous traitement ARV depuis 9 ans en médiane
- Réalisation d'une PL tous les 6 à 12 mois pendant 2,8 ans en médiane
- Quantification ARN VIH, ADN VIH total, et ARN VIH associé aux cellules dans le LCS
- Dosage de marqueurs de l'inflammation et de marqueurs de lésions neuronales

Résultats

- Au moins 1 échantillon de LCS avec ADN VIH détectable pour tous les 16 participants
- Pas d'évidence de diminution de l'ADN VIH dans le LCS au cours du temps
- Présence d'ADN VIH dans le LCS non associée à la CV pré-thérapeutique, au nombre de CD4 pré-thérapeutique, ou à la durée du traitement ARV
- Les marqueurs de l'inflammation (IPIO, TNF, et CCL2) et les marqueurs de lésions neuronales (NfL et GFAP) sont stables dans le temps





Variabilités PK plasma de CAB et RPV après un an de CAB et RPV LA im (1)

 Objectifs: évaluation prospective de la variabilité des concentrations plasmatiques de CAB et RPV mesurées en routine à 3 visites sur une période d'au moins 12 mois de CAB et RPV LA im chez 30 PVVIH

Méthode

- CAB LA (600 mg im) et RPV LA (900 mg im) tous les 2 mois
- Aucun retard ou oubli de visites
- Critère principal : variabilités inter- et intra-individuelles des C_{\min} de CAB et RPV par CV % et coefficient de Fleiss Kappa et coefficient de corrélation intraclasse (ICC)
- Critère secondaire : proportion de PVVIH dont C_{min} < 4 x PA- Cl_{90} (CAB 664 ng/ml et RPV 48 ng/ml) et raisons biologiques ou cliniques associées à ces faibles C_{min}
- Résultats : médiane (IQR) ou n (%)
 - 30 PVVIH: 45 ans (33 59), 80 % hommes, 70 % caucasiens, 27 % noirs, IMC 30 kg/m² (26 34) et durée de CAB/RPV LA im de 71 semaines (55 97)
 - Après un an d'utilisation optimale, la variabilité inter-individuelle des C_{\min} de CAB et RPV est de l'ordre de 44 % et 46 % alors que l'intra-individuelle est de 26 % et 21 %
 - Aucun facteur de risque aux C_{\min} de CAB et RPV < 4 x PA- Cl_{90} dans 7 % et 23 % des cas, probablement en raison d'une part du faible effectif et d'autre part du choix des seuils de C_{\min} cibles (cf RPV)



Variabilités PK plasma de CAB et RPV après un an de CAB et RPV LA im (2)

Variabilités inter- et intra-individuelles

n = 30 participants pour 90 C _{min}	CV (%) Médiane (IQR)
Inter-individuelle CAB ^{a,b}	44 (38 - 54)
Inter-individuelle RPV ^{a,b}	46 (40 - 49)
Intra-individuelle CAB ^{c,d}	26 (6 - 53)
Intra-individuelle RPV ^{c,d}	21 (10 - 68)

a CAB et RPV Fleiss Kappa = - 0,01

Paramètres associés avec des C_{min} de CAB ou RPV < 4 x PA- Cl_{90} (n = 30 participants)^a (médiane (IQR) ou n (%)

Médiane (IQR) ou n (%)	C _{min} < 4 χ			
Meuidile (IBIN) ou il (70)	Oui (n = 8)	Non (n = 22)	P	
IMC (kg/m²)	28 (18 - 49) 30 (21 - 46)		0,41	
ASAT	20 (15 - 28)	- 28) 26 (17 - 44)		
ALAT	21 (9 - 34)	28 (13 - 63)	0,18	
Bilirubine totale	0,5 (0,2 - 0,8)	0,6 (0,2 - 2,1)	0,45	
Phosphatases alcalines	68 (36 - 91)	70 (33 - 111)	0,57	
CV > 20 c/ml Visite 1 Visite 2 Visite 3	1 (33,3 %) 0 (0 %) 0 (0 %)	2 (7,4 %) 1 (3,8 %) 5 (20,0 %)	0,28 1,00 0,56	

^a Sexe, ethnicité et créatininémie ont été testés sans association (p = 1)

b résultats Fleiss Kappa < 0,4 = interindividuel faible

c CAB ICC = 0,75; RPV ICC = 0,63

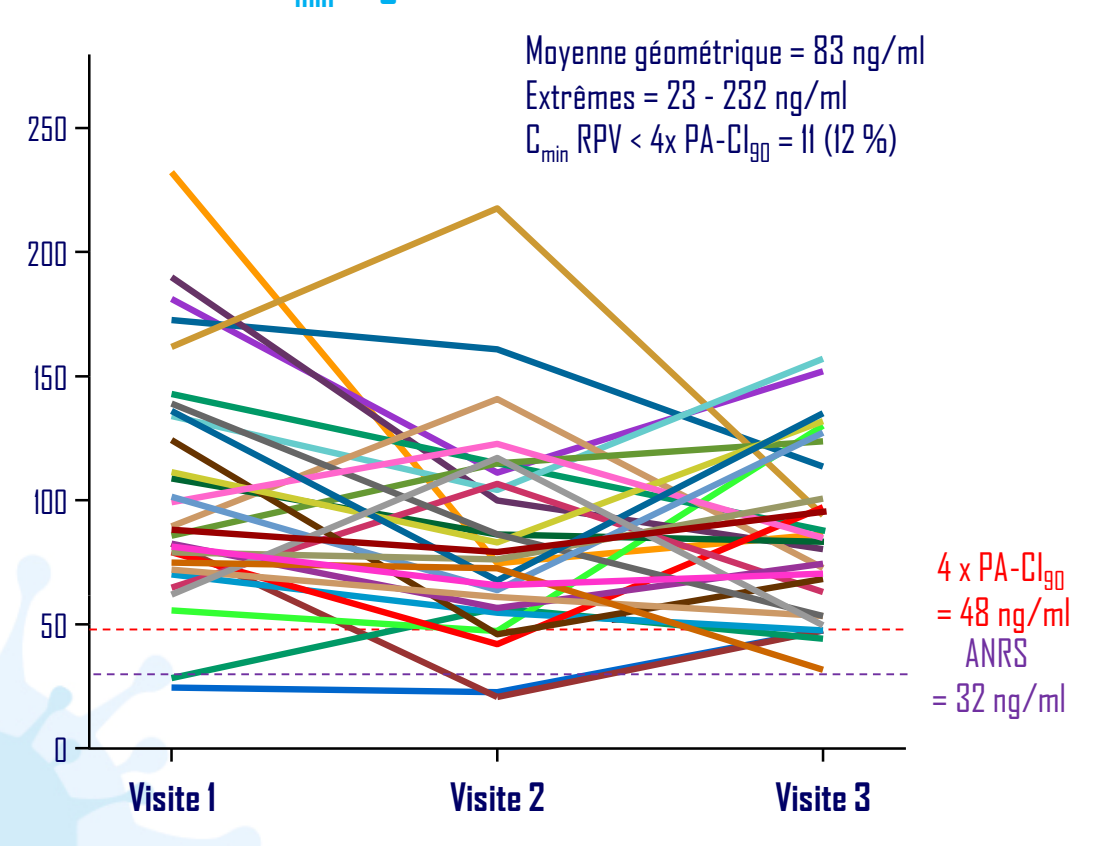
d ICC 0,5-0,75 = intra-individuel modéré

^b Test exact de Fisher et test de rang de Wilcoxon

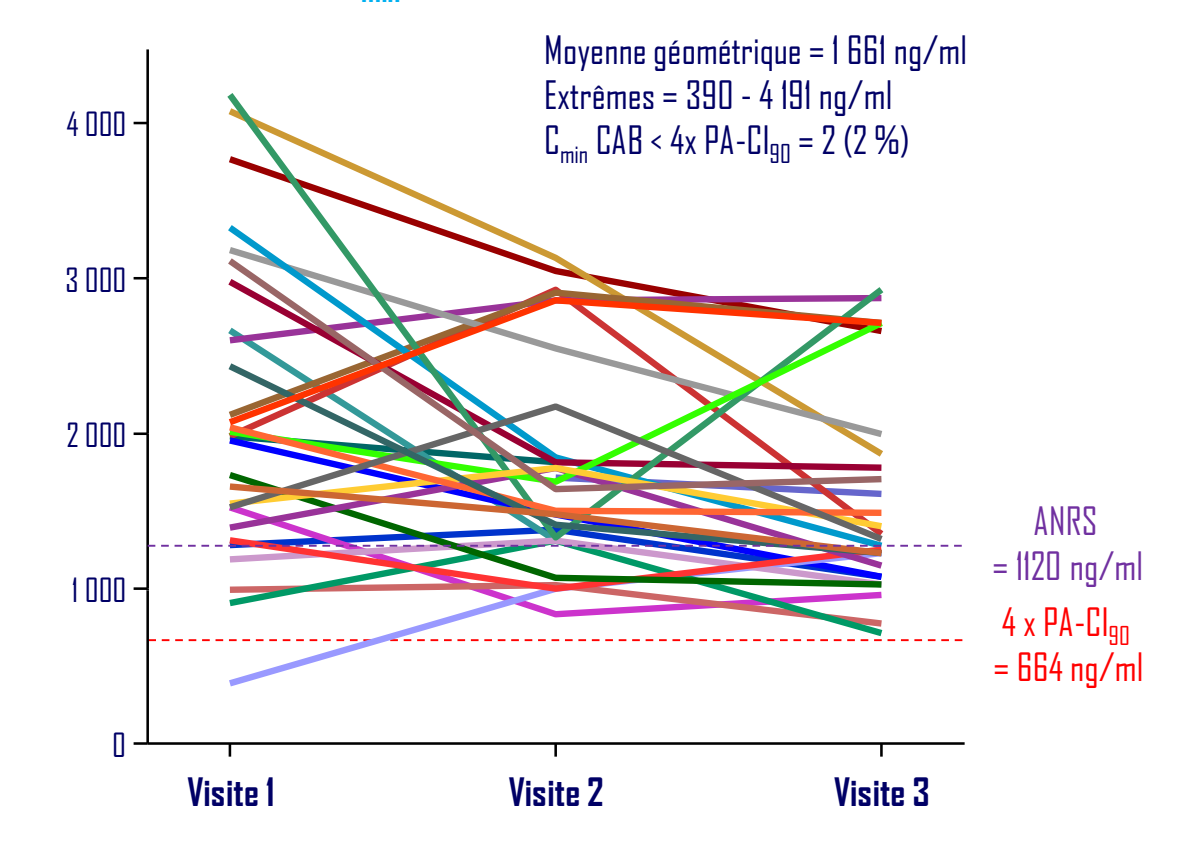


Variabilités PK plasma de CAB et RPV après un an de CAB et RPV LA im (3)

C_{min} (ng/ml) individuelles de RPV



C_{min} (ng/ml) individuelles de CAB





PK plasma de LEN en vie réelle (1)

... de CROI 2025

- Objectifs: décrire les concentrations plasmatiques de LEN dans une cohorte multicentrique (2020 2023)
 chez des PVVIH-1 lourdement prétraités
- Méthode
 - Mesures par UPLC-MS/MS (LOQ < 5 ng/ml) post-administration vo/sc de LEN (schéma de l'AMM)
 - Interprétation avec seuil de $4 \times PA-Cl_{95}$ (15,5 ng/ml)
 - Données PVVIH recueillies via la base DAT'AIDS (NCT02898987)
- Résultats : (médianes, IQR)
 - 61 PVVIH-1 (43 % femmes), 56 ans (43 60), ethnicité (44 % caucasiens, 39 % africains/caribéens, 8 % hispaniques et 8 % africains nord)
 - ARV associés : 46 % CAB +/- RPV, 26 % IP/r +/- INI oral, 7 % INI oral, 7 % fostemsavir, 2 % INNTI oral et 13 % inconnu

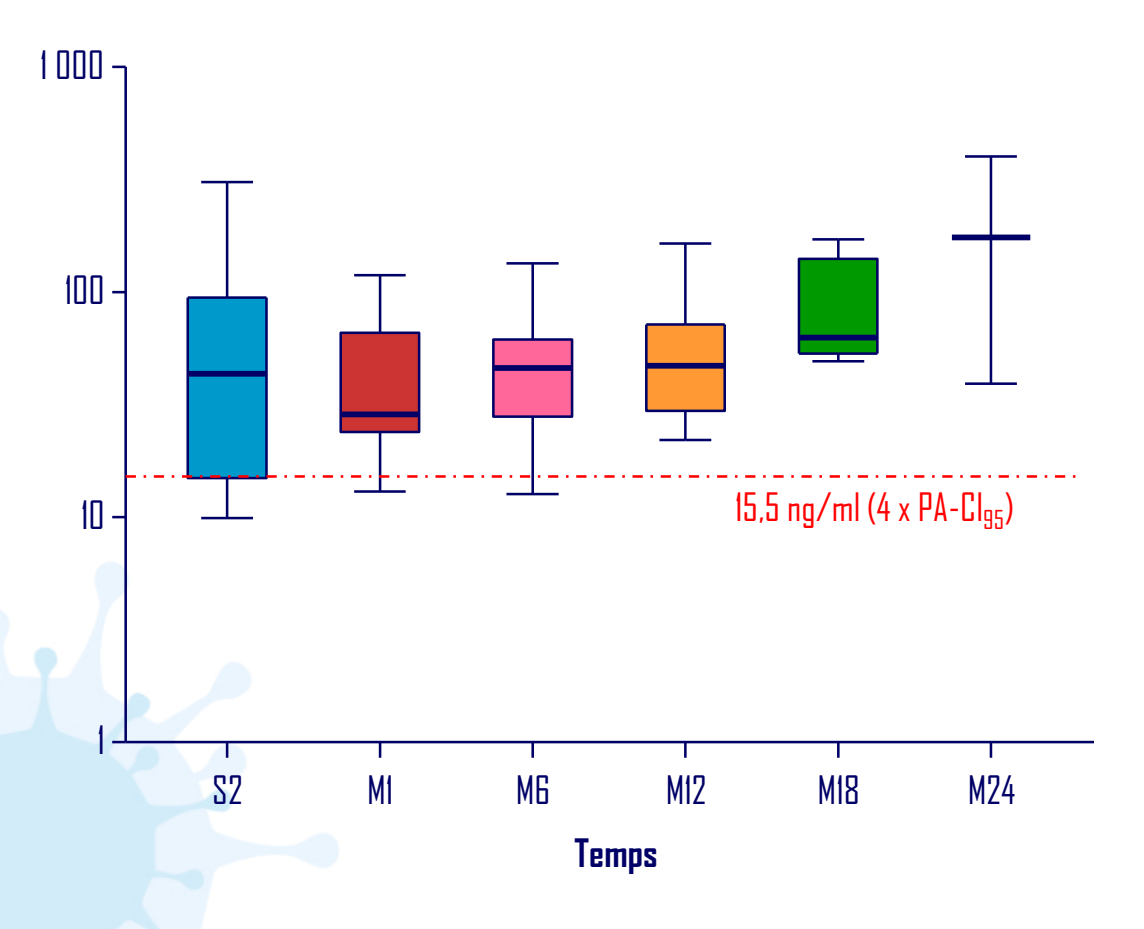
C_{min} plasma de LEN (ng/ml) et coefficient de variation (CV %)

PVVIH (n = 61)	S2	M1	МБ	M12	M18	M24	Autres périodes	Total
Echantillons, n	10	18	36	16	4	3	104	191
Echantillons/PVVIH, médiane (IQR)	/	/	/	/	/	/		2 (1-5)
LEN Conc plasma (ng/ml), médiane (IQR)	44 (15- 95)	28 (23-67)	45 (27-63)	47 (29-73)	63 (52-143)	174 (39-397)	58 (34-92)	50 (28-74)
CV (%)	124 %	66 %	63 %	65 %	65 %	89 %	83 %	69 %
CV (%) Intra-PVVIH	/	/	/	/	/	/	/	30 %



PK plasma de LEN en vie réelle (2)

C_{min} plasma (ng/ml) de LEN (médiane, IQR)



Conclusions

- Les concentrations plasmatiques médianes de LEN mesurées chez 61 PVVIH-1 au cours du suivi de 24 semaines sont de l'ordre de 50 ng/ml et supérieures à $4 \times PA-Cl_{95}$ (15,5 ng/ml) chez tous les PVVIH-1 sauf 1
- Au total, 5 PVVIH présentent des concentrations plasmatiques de LEN > 150 ng/ml résultant soit d'une interaction médicamenteuse avec ATV/r soit d'une insuffisance rénale
- Bon profil de sécurité générale exceptées quelques réactions au site d'injection



Simulations PK d'oublis de doses d'ISL/LEN vo QS (1)

Rappels

- **Islatravir** (ISL): inhibiteur de TI bloquant la translocation (INTTI), à longues $t_{1/2}$ plasmatique (50 60h) et intracellulaire (120 177h) par vo, activité sur VIH-1 avec une très faible CI_{50} (ISL-TP de 9,74 + 4,06 fmol/10⁶ PBMC),
- A la suite d'une toxicité sur les CD4+ et lymphocytes totaux à la plus forte dose hebdomadaire, de nouvelles simulations ont conduit à une réduction de 20 mg à 2 mg QS per os (Vargo R, CROI 2023, Abs. 497)
- Lénacapavir (LEN): 1^{er} inhibiteur de capside, à longue t_{1/2} plasmatique (11 13 jours)
 par vo (Begley R, CROI 2020, Abs. 470), présentant une réduction de 2,2 log₁₀ de la CV pour des doses sc de 50 à 150 mg
- Interactions médicamenteuses : les inducteurs puissants de CYP3A4 / P-gp / UGT (comme RFP) non recommandé (ASC LEN de 85 %).
- L'association ISL/LEN vo (2/300 mg QS) a montré en phase 2 (NCTO5052996) un maintien de CV < 50 c/ml à S48 de l'ordre de 94,2 % (Colson A, IDWeek 2024, Abs 577 : Colson A, HIV Drug Therapy, Glasgow 2024, Abs 021)



Simulations PK d'oublis de doses d'ISL/LEN vo QS (2)

... de CROI 2025

- Objectifs: simuler à l'aide d'un modèle de PK population différents scénarios d'oublis de doses orales hebdomadaires d'ISL et LEN de manière à
 quantifier le degré de pardonnance de la bithérapie FDC
- Méthode
 - Modèles PKpop d'ISL et LEN construits à partir des données PK des études de phases 1-3
 - Simulations à l'état d'équilibre avec un scénario de référence où aucun oubli de doses ISL/LEN (2/300 mg vo QS)
 n'a été constaté

 C_{min} et C_{max} intracellulaires d'ISL-TP (μ M) (médiane, IC 95 %) et plasma de LEN à l'état d'équilibre (moyenne, IC 90 %)

Scénarios (doses ISL/LEN hebdomadaires)	ISL-TP C _{min} (µM)	ISL-TP C _{max} (µM)	LEN C _{min} (ng/ml)	LEN C _{max} (ng/ml)
1 : Référence 2/300 mg QS ss (aucun oubli de doses)	4,42 (2,95 - 9,10)	9,11 (6,97 - 15,0)	29,9 (27,7 - 32,4)	48,9 (45,7 - 53,2)
2a : Oubli d'une dose 10 jours après la dernière dose QS	3,21 (2,03 - 7,30)	10,1 (7,81 - 16,1)	25,6 (23,7 - 27,9)	52,1 (47,8 - 56,5)
2b : Oubli d'une dose 13 jours après la dernière dose QS	2,38 (1,43 - 5,91)	11,5 (9,14 - 17,5)	21,9 (20,2 - 24,0)	55,6 (51,3 - 58,7)
3 : Reprise de la dose QS 14 jours après la dernière dose QS	2,16 (1,28 - 5,52)	N/A	20,7 (19,4 - 22,9)	N/A
4 : Reprise de 2 doses à J15 et J16 après la dernière dose QS *	1,97 (1,15 - 5,17)	N/A	19,6 (17,8 - 21,6)	67,7 (62,4 - 72,4)

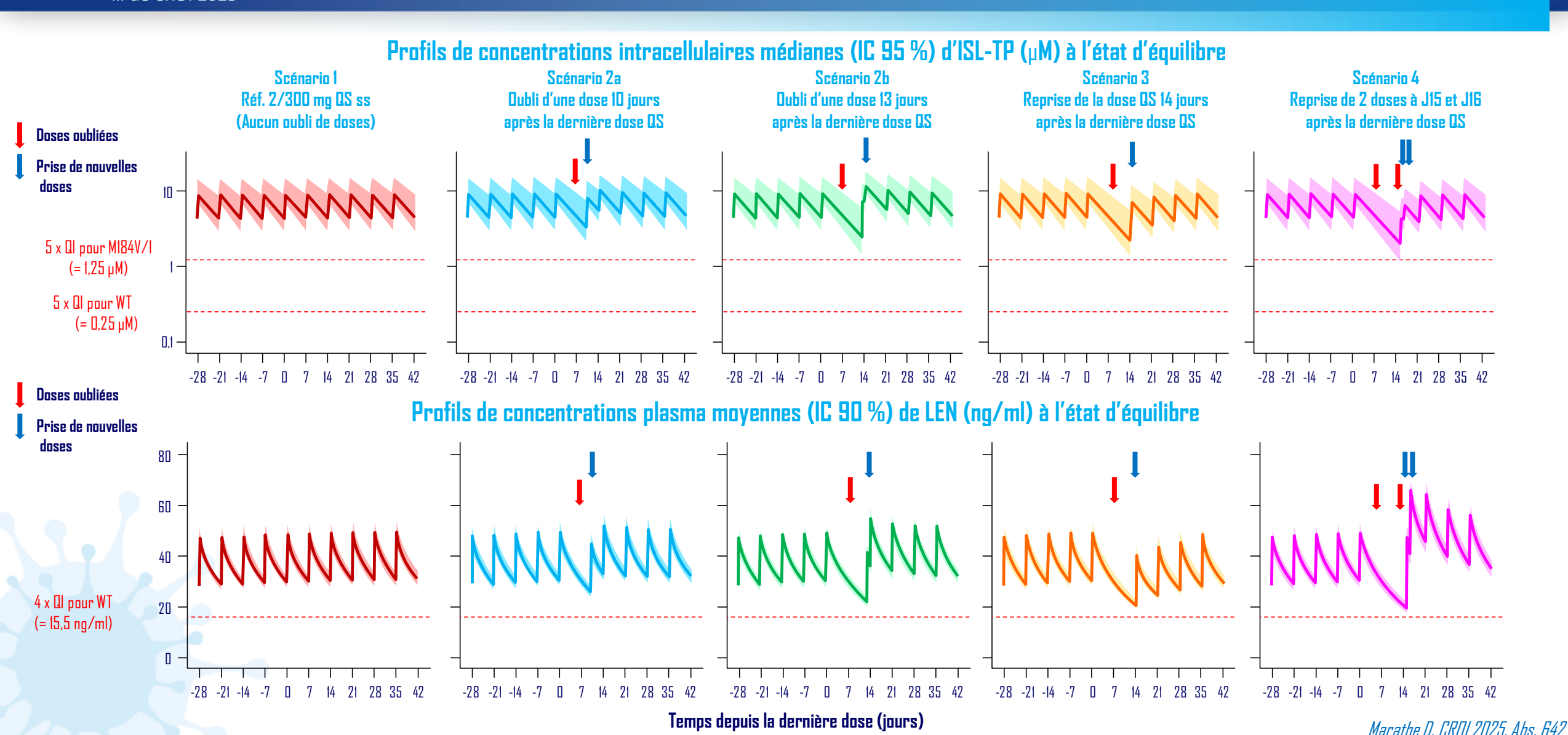
^{*} Seul le scénario 4 (où 2 comprimés consécutifs ont été oubliés) justifie un schéma de 2 doses de charge de ISL/LEN (1/600 mg) à J15 et J16

Conclusion: dans le scénario le plus extrême où 2 doses de maintenance ont été oubliées, les concentrations intracellulaires d'ISL-TP et plasmatiques de LEN restent supérieures aux cibles établies de respectivement
 5 x QI = 0,25 µM et 4 x QI = 15,5 ng/ml



Simulations PK d'oublis de doses d'ISL/LEN vo QS (3)

... de CROI 2025





Switch pour TDF/3TC/DOR chez des PVVIH avec prise de poids sous INI : effets sur les adipocytes

Essai ADDORE

- 22 PVVIH avec prise de poids sous INI (BIC/F/TAF : 70 %, DTG/3TC ± ABC : 25 %, EVG/c/FTC/TAF : 5 %)
- Switch pour TDF/FTC/DOR
- Biopsies du tissu adipeux sous-cutané à JO et S48 (n = 14)

Paramètres cliniques et métaboliques (moyenne)

	J0	S48	р
Paids, kg (n = 20)	102,8	100,9	0,033
IMC, kg/m^2 (n = 20)	32,6	31,9	0,033
Cholestérol total, mmol/l (n = 18)	4,7	4,3	0,010
LDL-cholestérol, mmol/l (n = 18)	2,9	2,6	< 0,001
Glycémie à jeun, mmol/l (n = 18)	5,7	5,2	0,008
Indice HDMA (n = 18)	7.7	4,5	0,016

Expression des gènes adipocytaires dans biopsie de tissu adipocytaire (n = 14)

Gène (rôle)	JO	S48	р
PPARG (adipogénèse)	1,42	1,23	0,026
CEBPA	1,36	1,50	ns
SREBF1 (adipogénèse)	1,41	1,03	0,049
FASN (synthèse des acides gras)	1,36	1,02	0,085
VEGFA (vascularisation)	1,27	1,02	0,065

 Conclusion: sur cette petite série, le switch INI vers DOR améliore certains paramètres métaboliques et semble réduire l'hypertrophie, l'accumulation lipidique et la vascularisation du tissu adipeux



Tuberculose disséminée chez PVVIH : majoration de la dose de rifampicine et ajout de lévofloxacine (essai NewStrat-TB) (1)

Rationnel – Objectifs

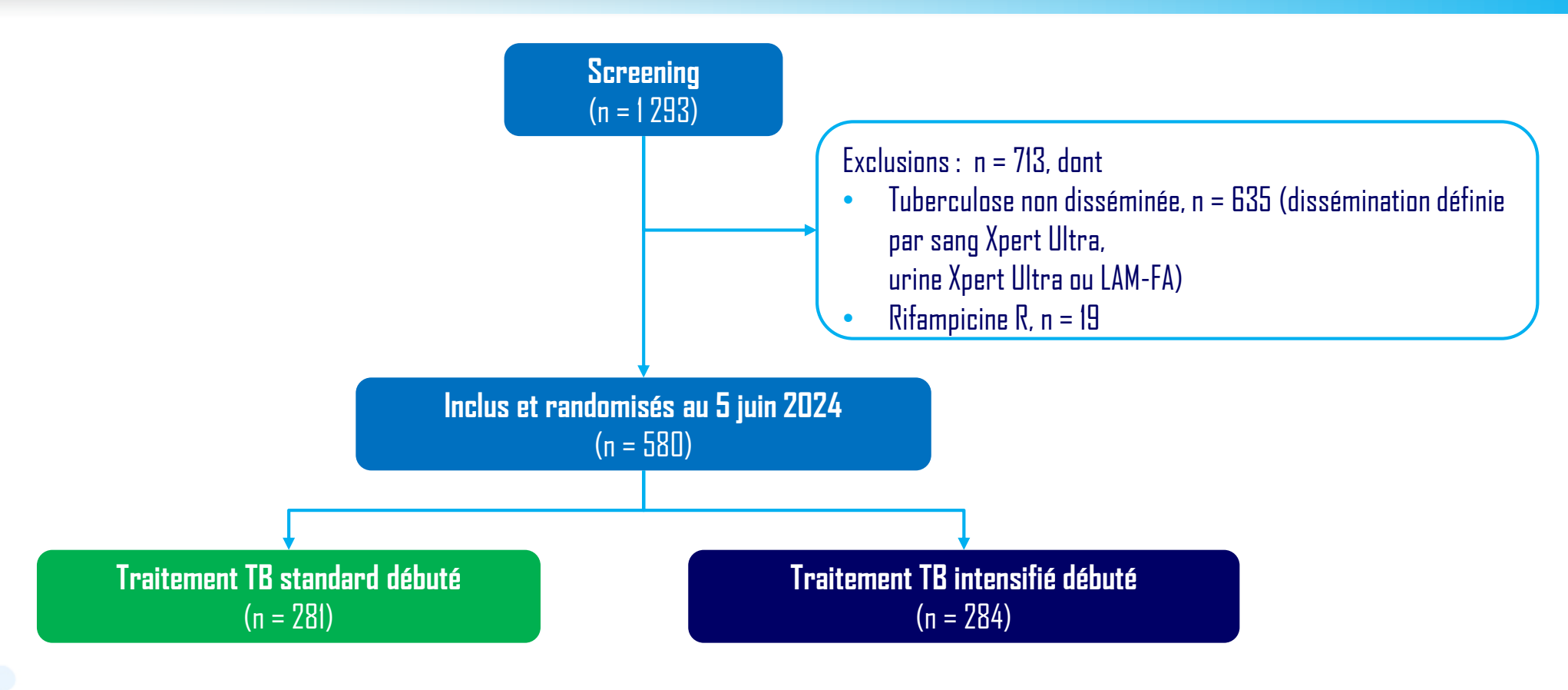
- Mortalité élevée (22 35 %) chez PVVIH, hospitalisés en Afrique pour tuberculose disséminée
- Évaluation de l'efficacité et la sécurité de 2 interventions (randomisation avec plan factoriel 2 x 2) :
 - Intensification du traitement antituberculeux avec haute dose de rifampicine (35 mg/kg) + lévofloxacine (750 mg/j si poids < 46 kg et 1 000 mg/j si poids \geq 46 kg)
 - Prednisone (1,5 mg/kg/j)

Adultes VIH+ hospitalisés pour tuberculose disséminée dans 3 hôpitaux de Cape Town Traitement TB intensifié + prednisone 14 jours Traitement TB intensifié + placebo prednisone 14 jours Traitement TB intensifié + placebo prednisone 14 jours Traitement TB intensifié + placebo prednisone 14 jours

- Critère principal : mortalité toutes causes à S12
- Effectif cible : 732 pour démontrer une réduction relative de mortalité de 32 % à S12 (réduction de 28 % à 19 %)



Tuberculose disséminée chez PVVIH : majoration de la dose de rifampicine et ajout de lévofloxacine (essai NewStrat-TB) (2)



- Comité indépendant (5 juin 2024)
 - Recommandation d'arrêt immédiat de la randomisation pour le traitement TB intensifié du fait d'un signal de mortalité accentuée à 15 jours dans le bras intensifié
 - Recommandation de poursuivre la randomisation avec le traitement TB standard +/- prednisone



Tuberculose disséminée chez PVVIH : majoration de la dose de rifampicine et ajout de lévofloxacine (essai NewStrat-TB) (3)

Mortalité à 14 jours

- 31/284 (**10,9** %) bras intensifié
- 14/281 (**5,0** %) bras standard
- Différence absolue : 5,9 % (IC 95 % : 1,5 -10,3 ; p = 0,008)

Mortalité S12 (critère principal)

- 56/284 (19,8 %) bras intensifié
- 43/281 (15,4 %) bras standard
- Différence absolue : 4.4 % (IC 95 % : -2.0 10.8 ; p = 0.18)

Evénements indésirables

	Traitement standard (n = 281)	Traitement TB intensifié (n = 284)	p
Grade 3 (clinique et/ou biologique)	152 (54 %)	158 (56 %)	0,71
Grade 4 (clinique et/ou biologique)	95 (34 %)	109 (38 %)	0,26
El sévères (non fatals)	63 (22 %)	53 (19 %)	0.27
Hépatotoxicité*	26 (9 %)	21 (7 %)	0,42

^{*} Définition hépatotoxicité ATS : ALAT > 3 LSN avec symptômes hépatiques et/ou ictère ou ALAT > 5 LSN en l'absence de symptômes

Dans le bras intensifié

- Les décès sont survenus chez les patients très sévèrement malades à l'inclusion et étaient attribués à la tuberculose (aucun décès attribué à une toxicité médicamenteuse, hépatique ou autre)
- **Hypothèses multiples** pour expliquer la surmortalité au cours des 2 premières semaines, dont :
 - Inflammation majorée en raison d'une bactéricidie plus rapide
 - Interaction entre haute dose de rifampicine et glucocorticoïdes (prednisone et glucocorticoïdes endogènes)



Merci de votre attention



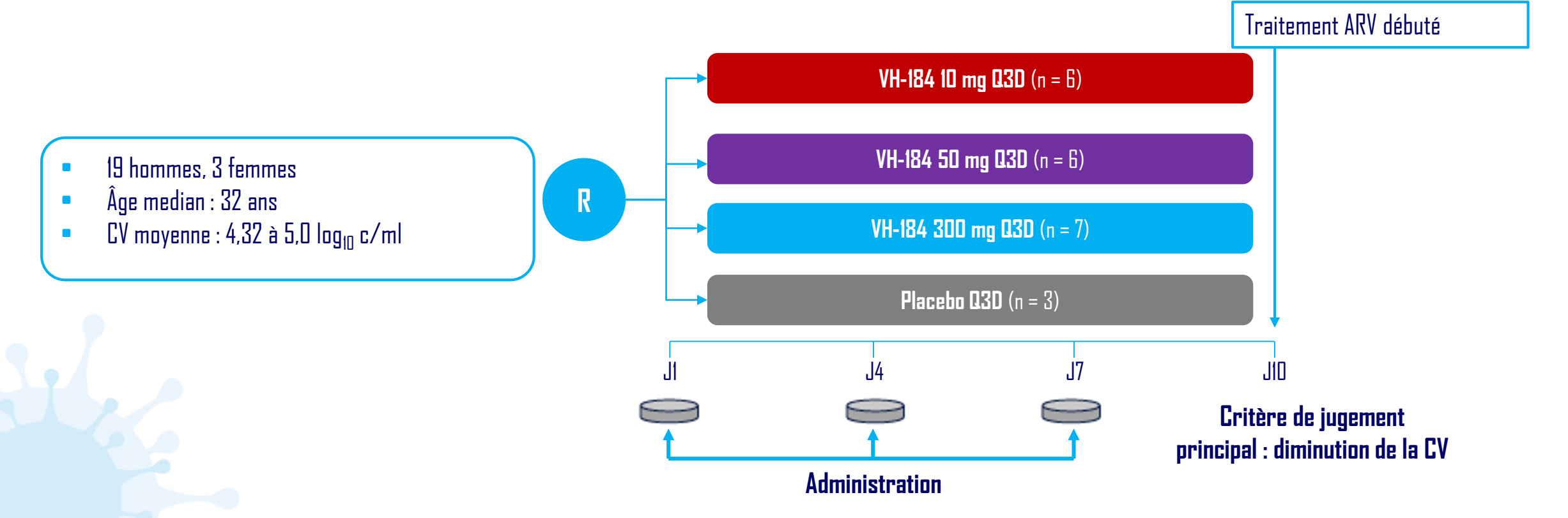
Back-up slides



VH-184, nouvel INI – Phase 2a (1)

... de CROI 2025

- VH-184 est un nouvel INI actif sur certains variants résistants à DTG
- Demi-vie de la formulation orale : 22 28 heures
- Phase 2a: 22 PVVIH, 18 65 ans, naïfs d'ARV, CV ≥ 3 000 c/ml, CD4 ≥ 200/mm³

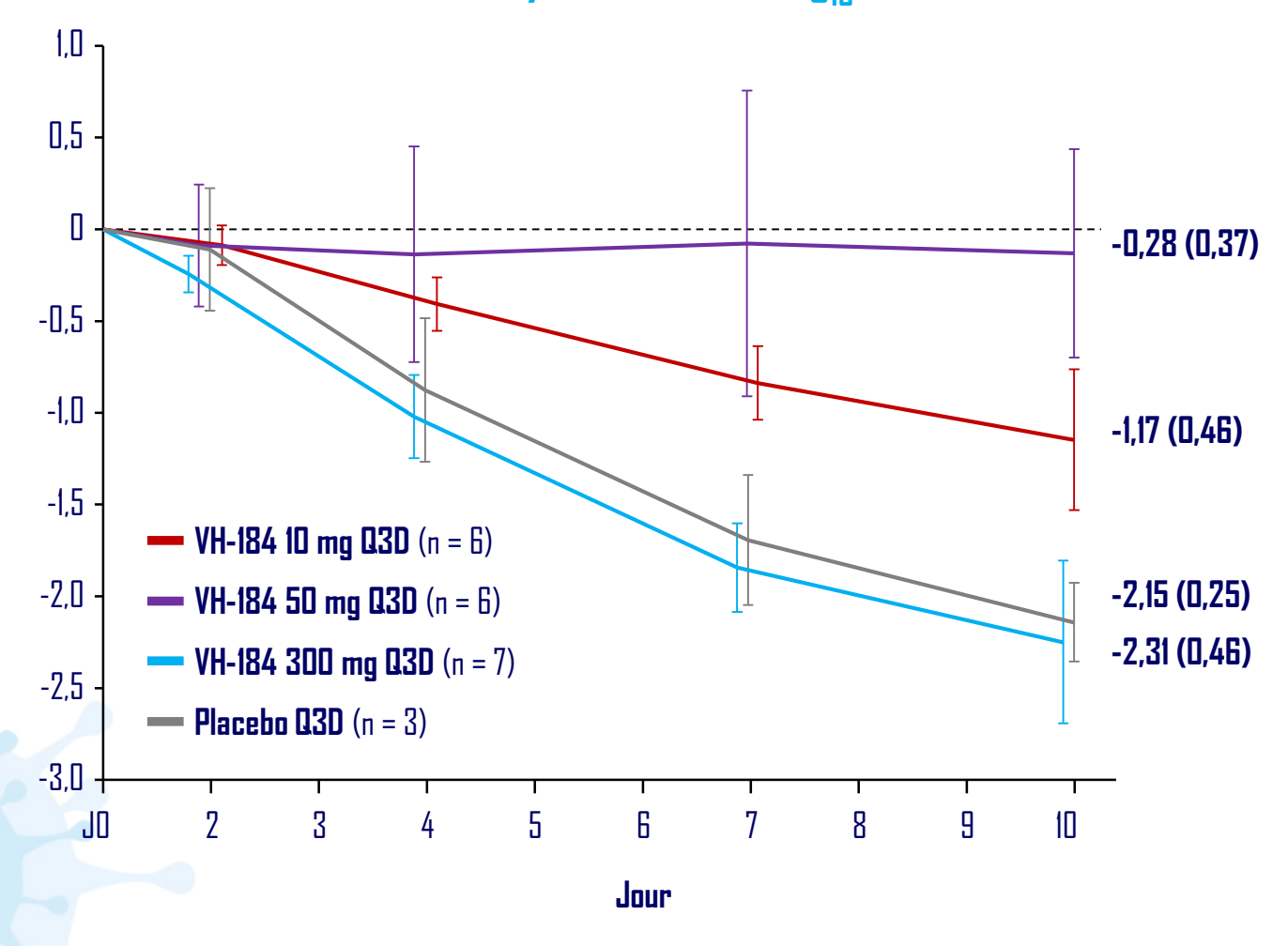




VH-184, nouvel INI – Phase 2a (2)

... de CROI 2025

Modification moyenne (ET) CV, log₁₀ c/ml

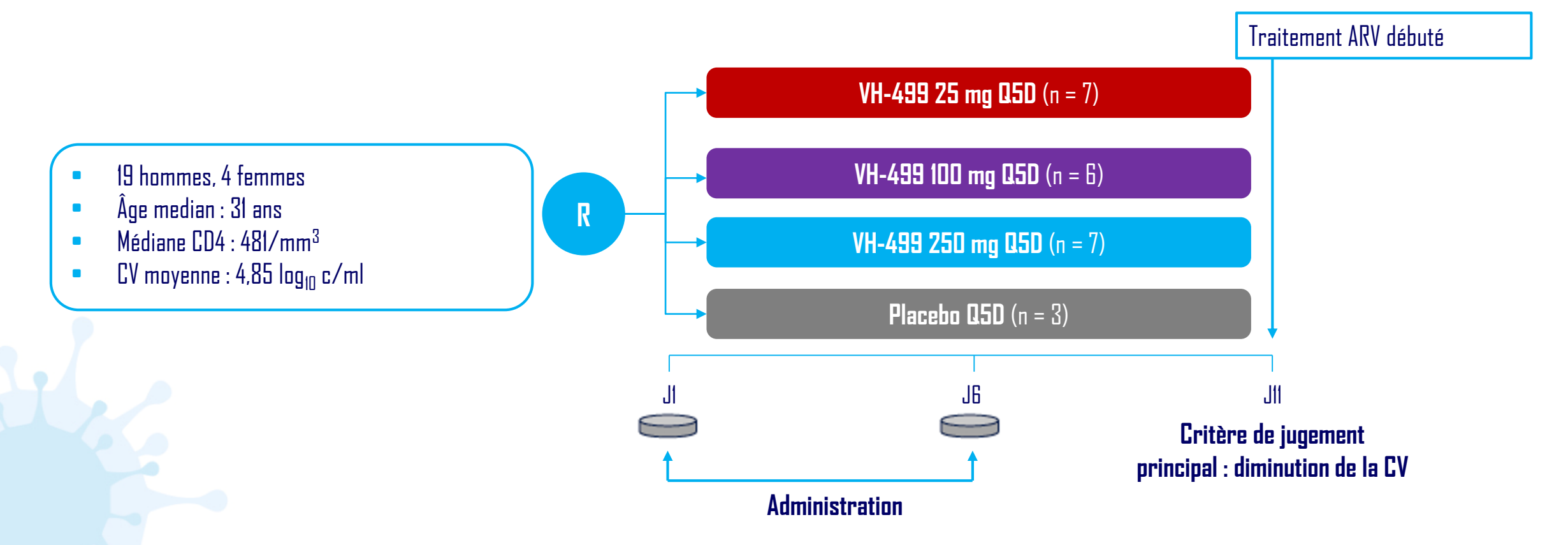


- Aucune résistance génotypique ou phénotypique à VH-184 à J10
- Bonne tolérance
 - Vomissements: 2/19
 - Evénements indésirables liés
 au traitement (tous de grade 1) : 5/19



VH-499, nouvel inhibiteur de capside – Phase 2a (1)

- VH-499 est un nouvel inhibiteur de capside, avec un profil de résistance similaire à celui de LEN
- Demi-vie de la formulation orale : 51 66 heures
- Phase 2a: 23 PVVIH, 18 65 ans, naïfs d'ARV, CV ≥ 3 000 c/ml, CD4 ≥ 200/mm³

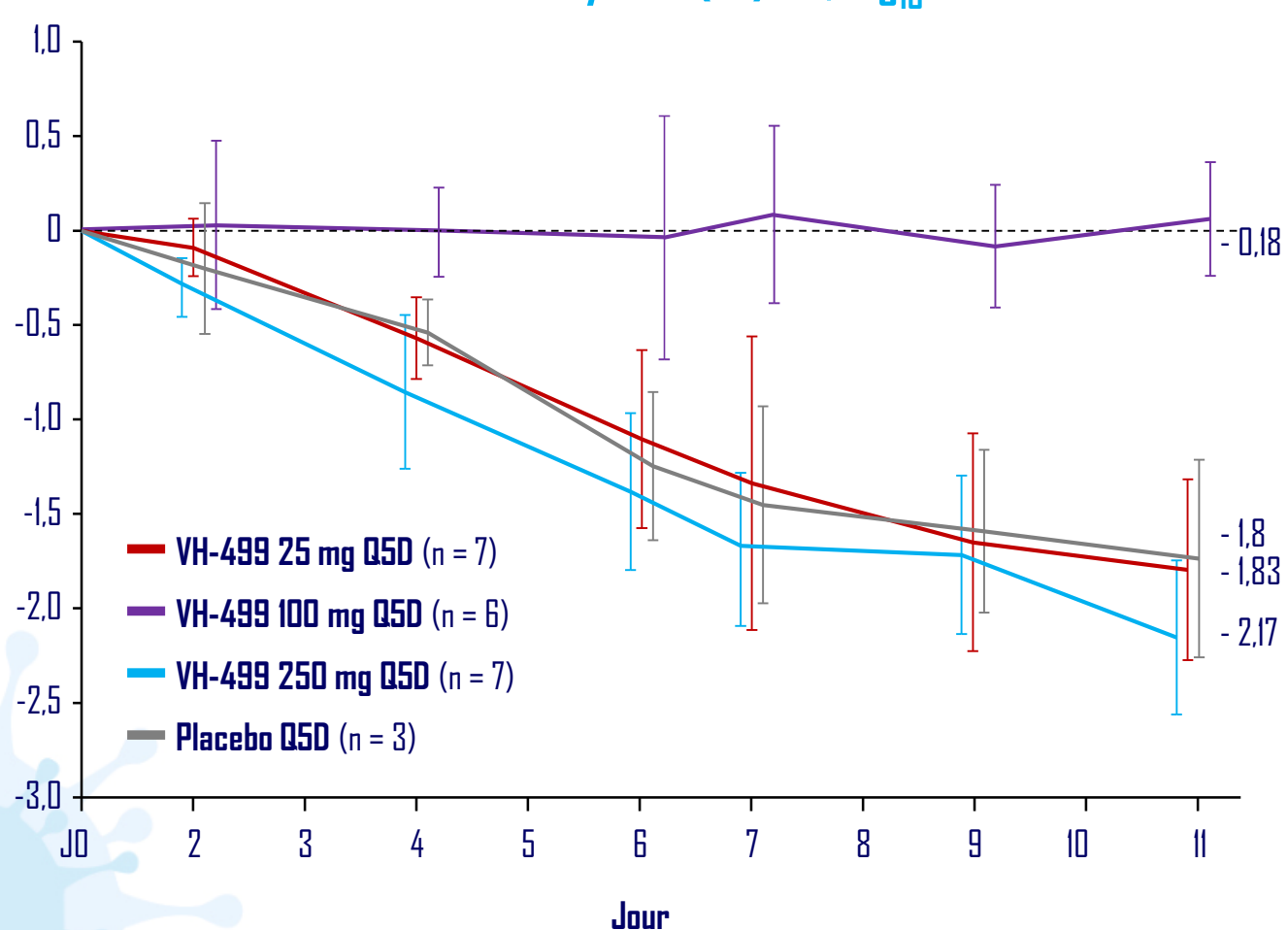




VH-499, nouvel inhibiteur de capside – Phase 2a (2)

... de CROI 2025

Modification moyenne (ET) CV, log₁₀ c/ml



- Chez 1 participant avec dose
 VH-499 25 mg : émergence à J11
 d'une mutation de résistance
 dans la capside (Q67Q/H)
 avec réduction de la sensibilité phénotypique de 3,9
 fois
- VH-499 était bien toléré
 - Céphalées : 3/20